

کاربرد روش‌های تحلیل چند معیاره جهت انتخاب بهترین برازش توزیع فراوانی سیل (مطالعه موردی: رودخانه مهاباد چای)

عثمان محمدپور^{*}، یوسف حسن زاده^۱، احمد خدادادی^۲، بهرام ثقیانی^۳

تاریخ دریافت: ۹۲/۰۷/۱۲ تاریخ پذیرش: ۹۳/۱۱/۲۹

۱- دانشجوی دکتری عمران- آب دانشگاه آزاد اسلامی، واحد علوم و تحقیقات تهران

۲- استاد دانشکده عمران دانشگاه تبریز

۳- استادیار دانشکده آمار و ریاضی دانشگاه شهید بهشتی

۴- استاد دانشکده فنی دانشگاه آزاد اسلامی واحد علوم و تحقیقات تهران

* مسئول مکاتبات، پست الکترونیکی: mohammadpour816@yahoo.com

چکیده

برای انتخاب توزیع احتمالاتی برای توصیف داده‌های مشاهداتی، چندین معیار وجود دارند که می‌توانند مورد استفاده واقع شوند. بهتر است بهجای استفاده از یک معیار مطابق روش‌های مرسوم، از تلفیق دو یا چند معیار جهت دستیابی به بهترین انتخاب استفاده شود. اما اگر بیش از دو معیار استفاده شود، انتخاب مشکل‌تر می‌شود. در این‌گونه موارد، استفاده از روش‌های تصمیم‌گیری چند معیاره (MCDM) ضروری است. در این مطالعه ۱۱ تابع توزیع آماری رایج در هیدرولوژی به عنوان گزینه‌های روش MCDM بر اساس معیارهای کولموگروف- اسمیرنوف، انحراف در تابع توزیع تجمعی، انحراف در تابع چگالی احتمال، انحراف در چولگی و کشیدگی و جذر میانگین مربعات خطأ، مقایسه شدند. از سه روش MCDM شامل روش‌های مجموع ساده وزین، حاصل‌ضرب وزنی و اکثربیت فازی، استفاده شد. تحلیل حساسیت با تغییر وزن و تعداد معیارها انجام گردید. از روش‌های فوق‌الذکر جهت انتخاب مناسب‌ترین توزیع که بهترین برازش را به سه مشخصه دبی اوج، حجم و تداوم سیل سالانه رودخانه مهاباد (یکی از رودخانه‌های مهم حوضه دریاچه ارومیه) داشته‌است، استفاده شد. نتایج این مطالعه نشان داد که توزیع‌های ویبول سه پارامتری، ویبول سه پارامتری و حدی تعیین‌یافته، مناسب‌ترین توزیع برای توجیه داده‌های مشخصه‌های دبی اوج، حجم و تداوم سیل رودخانه مهاباد می‌باشدند. از نتایج این مطالعه می‌توان در راستای بهبود تحلیل فراوانی سیل استفاده نمود.

واژه‌های کلیدی: اکثربیت فازی، تحلیل فراوانی سیل، تصمیم‌گیری چند معیاره، توزیع احتمالاتی، رتبه‌بندی

Application of Multi Criteria Analysis to Select the Best Fit Flood Frequency Distribution (Case Study of Mahabad River)

O Mohammadpour^{*1}, Y Hassanzadeh², A Khodadadi³, B Saghafian⁴

Received: 4 October 2014

Accepted: 18 February 2015

¹⁻ Ph.D. Student, Science and Research Branch, Islamic Azad University, Tehran, Iran

²⁻ Prof., Faculty of Civil Engineering, University of Tabriz, Tabriz, Iran

³⁻ Assist. Prof., Department of Statistics, Shahid Beheshte University, Tehran, Iran

⁴⁻ Prof., Faculty of Civil Engineering, Science and Research Branch, Islamic Azad University, Tehran, Iran

* Corresponding Author, Email: mohammadpour816@yahoo.com

Abstract

To select a statistical distribution to describe a set of data, there are several criteria that can be used. Rather than the selection of a criterion according to traditional methods, the combination of two or more criteria may be used to achieve the best choice. But when more than two criteria are applied to find out the best model, selection becomes more difficult. In these cases, the use of multi-criteria decision making (MCDM) is essential. This study compares eleven commonly used distributions in hydrology based on five selection criteria. These selection criteria are: The Kolmogorov-Smirnov test, the errors in skewness and kurtosis, the errors in cumulative distribution function, the errors in probability distribution function and the root mean square error. Three MCDM methods, namely, simple additive weighting, weighted product method and fuzzy majority approach, are employed. In the present study, we examine the sensitivity of the results of MCDM by changing the weights and number of criteria. The methods are applied to a case study of Mahabad River, a major river flowing into Lake Urmia in northwestern of Iran. Results of this study have shown that three-parameter Weibull, three-parameter Weibull and generalized extreme value distributions have the best fit for peak flow, volume and duration of Mahabad River flood data, respectively. The result of this study can be used to improve the flood frequency analysis.

Keywords: Flood frequency analysis, Fuzzy majority, Multi criteria decision making, Probability distribution, Ranking

است. طبق گزارش سازمان علمی و فرهنگی ملل متحد (UNESCO) بین سالهای ۱۹۷۳ الی ۱۹۹۶ به طور متوسط سالانه ۶۶ میلیون نفر در جهان تحت تأثیر اثرات نامطلوب سیل قرار گرفته‌اند، طبق همین گزارش سیل‌های که در آسیا طی سالهای ۱۹۸۷ الی ۱۹۹۶ به

مقدمه

تاریخ حیات بشر بر روی کره زمین از دیرباز مملو از حوادث و بلایای مختلف خصوصاً سیل بوده و علی‌رغم پیشرفت‌های بسیار دانش بشری، هنوز بشر امکان پیش‌بینی و مهار کامل این پدیده را پیدا نکرده

تحلیل فراوانی سیل چند متغیره می‌تواند راهکار مناسب‌تری باشد (شیائو و همکاران ۲۰۰۶، کارماکار و سیمونویچ ۲۰۰۸، نجسن و همکاران ۲۰۰۹). هر دو گروه تحلیل فراوانی یک متغیره و چند متغیره نیازمند برآذش یک توزیع احتمالاتی به داده‌های مشاهداتی مشخصه‌های سیل برای نمایش فراوانی وقوع حوادث نادر سیل است. روش مرسوم جهت انتخاب مناسب‌ترین توابع توزیع آماری، استفاده از آزمون‌های نکویی برآذش نظری آزمون کلموگرف-اسمیرنوف (KS)، آندرسون دارلینگ (AD)، مجازور میانگین مربعات خطای (RMSE)، معیار اطلاعات آکایکه (AIC)، معیار اطلاعات آکایکه اصلاح شده (AIC_c) و معیار اطلاعات بیزی (BIC) بوده است (کارماکار و سیمونویچ ۲۰۰۸، لایو و همکاران ۲۰۰۹، حداد و رحمان ۲۰۱۰، رحمان و همکاران ۲۰۱۳). انتخاب توزیع با استفاده از آزمون‌های فوق‌الذکر انتخابی یک معیاره است، برای مثال، آماره‌ی آزمون KS تنها بر اساس تابع توزیع تجمعی (CDF) برآورد می‌گردد، در صورتی‌که علاوه بر اطلاعات CDF، تابع چگالی احتمال (PDF) نیز در تعیین نکویی برآذش یک توزیع حائز اهمیت است (وانگ و همکاران ۲۰۰۴). برای انتخاب مناسب‌تر، بایستی چندین معیار در نظر گرفته شوند. اما زمانی که بیش از دو معیار جهت تعیین بهترین توزیع مورداستفاده قرار می‌گیرد، انتخاب مشکل‌تر و ذهنی‌تر می‌شود. در این موارد استفاده از روش‌های تصمیم‌گیری چند معیاره^۱ (MCDM) ضروری است (دوکشتاین و همکاران ۱۹۹۱، شبری و جیمن ۲۰۰۶، محمدپور و همکاران ۲۰۱۴).

در چند دهه اخیر تحقیقات وسیعی در خصوص تحلیل فراوانی سیل انجام‌شده است. اسلامیان و سلطانی‌کوپائی (۱۳۸۱) تعدادی از این تحقیقات و همچنین روش‌های مختلف تحلیل فراوانی را موردنرسی قرار داده‌اند. لایو و همکاران (۲۰۰۹) از سه معیار انتخاب مدل شامل AIC، BIC و AD جهت

وقوع پیوسته‌اند، بیش از ۱۰۰ بیلیون دلار خسارت اقتصادی ایجاد کرده است (بینام ۲۰۰۳). متأسفانه کشور ما نیز در زمرة کشورهای سیل‌خیز جهان قرار دارد. بررسی آمار سیلاب‌های ۴۰ ساله (۱۳۷۰-۱۳۳۱) نشان داده است که به‌طور متوسط سالانه ۴۷ مورد سیل حادثه‌آفرین در کشور ثبت گردیده است و در این دوره ۱۰۵۷۲ نفر از هموطنان جان خود را ازدست‌داده‌اند (مشايخی ۱۲۸۰). بنابراین، تحقیقات روی مدیریت سیل از دیدگاه‌های مختلف، ضروری است.

مدیریت سیل در سه فاز طراحی، برنامه‌ریزی و بهره‌برداری صورت می‌گیرد. اجرای هریک از سه فاز ذکر شده، نیازمند در دسترس بودن معلومات مشخصه‌های حادثه سیل است. یکی از مرسوم‌ترین اقدامات جهت استخراج اطلاعات پدیده سیل، استفاده از روش آماری تحلیل فراوانی است (کارماکار و سیمونویچ ۲۰۰۸). در این روش احتمال وقوع و یا عدم وقوع پدیده سیل و یا عکس آن یعنی دوره بازگشت به‌همراه مشخصات دیگر تعیین می‌شوند که خود ابزار بسیار مفیدی جهت تصمیم‌گیری‌های علمی و عملی هست. از نتایج حاصل از تحلیل فراوانی سیل می‌توان جهت طراحی سازه‌های کنترل سیل نظری سرریز سدها، پولدرها، مخازن حفاظت سیل و همچنین مطالعات پنهان‌بندی سیلاب و بیمه سیل استفاده نمود. تاکنون تحلیل فراوانی سیل یک متغیره (عموماً بر مبنای اوج سیل) به‌طور وسیعی در مطالعات هیدرولوژیکی مورداستفاده قرار گرفته است (لایو و همکاران ۲۰۰۹، قربانی و همکاران ۲۰۰۹، حداد و رحمان ۲۰۱۱، حسن‌زاده و همکاران ۲۰۱۰). با توجه به پیچیدگی پدیده سیل و پیروی این پدیده از سه متغیر اصلی دبی اوج، حجم و تداوم سیل، تحلیل فراوانی یک متغیره باعث می‌شود که تأثیر همزمان متغیرهای وابسته در نظر گرفته نشود و درنتیجه منجر به کمتر یا بیشتر برآورد شدن ریسک هیدرولوژیکی گردد. بنابراین،

^۱ Multi criteria decision making (MCDM)

شهری در آلودگی منابع آب استان اصفهان استفاده کردند. مک فی و همکاران (۲۰۰۴) به منظور مدیریت پایدار آب زیرزمینی، یک مدل ترکیبی مبتنی بر روش چندمنظوره حدی و چند شاخصه مبتنی بر میانگین وزنی مرتب^۴ (OWA) را ارائه دادند. کنتل و آرال (۲۰۰۷) از عملگر OWA جهت رتبه‌بندی استراتژی‌های مدیریت آب زیرزمینی استفاده کردند. ضرغامی و سیداروسکی (۲۰۱۰) رابطه روش مبتنی بر عملگر OWA و روش CP را برای یک مطالعه موردنی مدیریت منابع آب در ایران مورد بررسی قرار دادند. ایشان نشان دادند که روش OWA نسبت به روش CP ارجحیت دارد. ایلماز و هارماچیغلو (۲۰۱۰) در رتبه‌بندی گزینه‌های حوضه رودخانه‌ها از روش‌های SAW، CP و روش شباهت به گزینه ایده‌آل (TOPSIS) استفاده نمودند. ضرغامی و همکاران (۱۳۸۶) ۸ روش تصمیم‌گیری چند شاخصه را با توجه به ۱۰ معیار با همدیگر مقایسه کردند، نتایج نشان داد که روش مبتنی بر عملگر OWA نسبت به سایر روش‌های تصمیم‌گیری برای اولویت‌بندی طرح‌های بین حوضه‌ای انتقال آب برتر است. صفاری و ضرغامی (۱۳۹۲) از روش‌های فاصله محور MCDM نظریه SAW و TOPSIS جهت تخصیص بهینه منابع آب سطحی حوضه دریاچه ارومیه به استان‌های ذیفع استفاده نمودند.

هدف از این مطالعه، انتخاب برترین توزیع احتمالاتی برای سه مشخصه دبی اوج، حجم و تداوم سیل با استفاده از روش‌های تصمیم‌گیری چند معیاره SAW، حاصل ضرب وزنی^۵ (WPM) و اکثربت فازی^۶ (FMA) است. این مطالعه از دو دیدگاه مطالعات قبلی را توسعه می‌دهد. در مطالعات قبلی کاربرد MCDM در تحلیل فراوانی، تنها مشخصه دبی اوج سیل مدنظر قرار گرفته است. حال اینکه در این مطالعه هر سه مشخصه سیل بررسی شده‌اند. از طرف دیگر

تحلیل فراوانی حوادث نادر هیدرولوژیکی داده‌های اوج سیل ۱۰۰۰ حوضه آبریز بریتانیا استفاده نمودند. نتایج نشان داد که معیارهای فوق الذکر می‌توانند توزیع‌های متفاوتی را برای حوضه‌های یکسان انتخاب نمایند. بر اساس نتایج، دو معیار AIC و AD که به ترتیب از اطلاعات تابع PDF و CDF استفاده می‌نمایند در ۴۹٪ موارد توزیع آماری یکسانی را انتخاب می‌کنند. حسن‌زاده و همکاران (۲۰۱۰) به منظور برآورد پارامتر توزیع‌های احتمالاتی متداول در هیدرولوژی، از روش‌های بهینه‌سازی فراابتکاری نظیر الگوریتم ژنتیک و الگوریتم جامعه مورچگان استفاده نمودند.

با وجود اینکه تحقیقات در زمینه تحلیل فراوانی سیل بسیار گسترشده است، اما به کارگیری روش‌های MCDM در این زمینه بسیار نادر است. دو کشتائین و همکاران (۱۹۹۱) برای نخستین بار از روش‌های برنامه‌ریزی سازشی^۷ (CP)، ELECTRE و MCQA جهت رتبه‌بندی ۵ روش برآورد پارامترهای توزیع لوگ پیرسون تیپ سه در تحلیل فراوانی هیدرولوژیکی، استفاده کردند. شبری و جیمن (۲۰۰۶) یک روش MCDM را براساس مدل برنامه‌ریزی غیرخطی جهت انتخاب توزیعی که بهترین برآنش را به مجموعه داده‌های سیل رودخانه‌ای در مالزی دارد، توسعه دادند. امیری و سعادت فر (۱۳۹۰) از روش تحلیل سلسه مراتبی (AHP) جهت انتخاب مناسب‌ترین توزیع فراوانی برای پیش‌بینی دبی بیشینه لحظه‌ای سیلاب استفاده نمودند.

کاربرد روش‌های MCDM در زمینه‌های مختلف مدیریت و برنامه‌ریزی منابع آب در تعداد زیادی از مطالعات گزارش شده است. کارآموز و همکاران (۲۰۰۳)، از دو روش مجموع ساده وزین^۸ (SAW) و AHP جهت تعیین سهم بخش‌های کشاورزی، صنعت و

⁴ Ordered weighted averaging (OWA)

⁵ Weighted product method (WPM)

⁶ Fuzzy majority approach (FMA)

⁷ Compromise programming (CP)

⁸ Simple additive weighting (SAW)

پیرسون تیپ ۳ (PE3)، لوگ پیرسون تیپ ۳ (LP3)، گامبل (EV1(2)، لجستیک تعمیم‌یافته (GLOG)، حدی تعمیم‌یافته (GEV)، گامای دو پارامتری (G2)، ویبول سه پارامتری (WBL3) و پارتوی تعمیم‌یافته (GPAR). نظر به اینکه روابط CDF و PDF توزیع‌های بالا در مراجع ارائه شده است (اسلامیان و سلطانی‌کوپائی، ۱۳۸۱)، جهت پرهیز از افزایش حجم مقاله، از نمایش آن‌ها صرف‌نظر می‌شود.

همان‌طوری که بررسی منابع نشان می‌دهد، معیارهای نکویی برآش مختلف ممکن است توزیع‌های احتمالاتی متفاوتی را به عنوان توزیع برتر انتخاب نمایند. بنابراین، در ارزیابی توزیع‌ها به جای استفاده از یک معیار (شاخص) مطابق روش مرسوم، بهتر است از چندین معیار به صورت زیر استفاده شود:

الف. آماره‌ی آزمون نکویی برآش کلموگرف-اسمیرنوف (KS): این آماره با استفاده از رابطه زیر به دست می‌آید: (شبیری و جیمن، ۲۰۰۶، محمدپور و همکاران، ۲۰۱۴):

$$D_{\max} = \max_{1 \leq i \leq n-1} \{ |F(x_i) - G(x_i)|, |F(x_{i+1}) - G(x_i)| \} \quad [1]$$

به طوری‌که D_{\max} : میزان انحراف بیشینه بین CDF نظری ($F(x)$) و تجربی ($G(x)$) و n : تعداد داده‌های مشاهداتی هست. تابع CDF تجربی از رابطه ویبول به شکل $\frac{m}{n+1} = G(x) = \frac{m}{n}$ تعیین شده است، به طوری‌که m : شماره ردیف در ترتیب نزولی داده‌ها است.

ب. انحراف متوسط در CDF: متوسط انحراف بین CDF نظری و تجربی با استفاده از رابطه زیر محاسبه می‌شود (وانگ و همکاران، ۲۰۰۴):

$$\delta_F = \frac{1}{n} \sum_{i=1}^n |F(x_i) - G(x_i)| \quad [2]$$

پ. انحراف متوسط در PDF: متوسط انحراف بین PDF نظری ($f(x)$) و تجربی ($g(x)$) به صورت زیر محاسبه می‌شود (وانگ و همکاران، ۲۰۰۴):

$$\delta_f = \frac{1}{n} \sum_{i=1}^n |f(x_i) - g(x_i)| \quad [3]$$

روش‌های MCDM مورد استفاده در مطالعات قبلی نظری AHP و ELECTRE قادر نیستند اولویت‌های ذهنی تصمیم‌گیر و همچنین ریسک‌پذیری و یا ریسک‌گریزی تصمیم‌گیر را در نظر بگیرند، حال اینکه روش FMA مورد استفاده در این مطالعه از این توانایی برخوردار است.

روش تصمیم‌گیری چند معیاره (MCDM)

در این روش‌ها به جای استفاده از یک معیار سنجش بهینگی از چندین معیار استفاده می‌گردد. به طور کلی مدل‌های MCDM به دو گروه اصلی مدل‌های تصمیم‌گیری چندهدفه و چند شاخصه تقسیم می‌شوند. هدف از مدل‌های تصمیم‌گیری چندهدفه^۷ (MODM) بهینه کردن همزمان چندین تابع هدف، تحت مجموعه‌ای از قیودات است. از این گروه روش برنامه‌ریزی آرمانی و روش حدی را می‌توان نام برد. در حالی‌که مدل‌های تصمیم‌گیری چند شاخصه^۸ (MADM) با مسائلی مرتبط می‌شوند که از قبل چندین گزینه برای انتخاب تعیین شده‌اند و تصمیم‌گیرنده باید گزینه برتر را انتخاب نماید. از گروه اخیر، می‌توان روش‌های امتیازدهی نظری SAW و WPM، روش‌های فاصله محور نظری TOPSIS و CP، روش‌های نارتبا ای نظری ELECTRE و PROMETHEE و همچنین روش AHP را نام برد (قهeman، ۲۰۰۸). در ادامه گزینه‌ها، شاخص‌ها و روش‌های MADM مورد استفاده، معرفی می‌گردد.

معرفی گزینه‌ها و شاخص‌های MADM

گزینه‌های روش MADM، توزیع‌های احتمالاتی هستند که به طور متداول در تحلیل فراوانی سیل برای مشخصه‌های سیل مورد استفاده قرار گرفته‌اند. این توزیع‌ها عبارت‌اند از نرمال (N)، لوگ نرمال دو پارامتری (LN2)، لوگ نرمال سه پارامتری (LN3)،

^۷ Multiple objective decision making (MODM)

^۸ Multiple attribute decision making (MADM)

$$r_j = \frac{1}{K} \sum_{l=1}^K r_{lj} \quad [7]$$

روش مجموع ساده وزین (SAW)

روش SAW احتمالاً شناخته شده ترین و پرکاربردترین روش MADM هست (قهرمان و همکاران ۲۰۰۸). در روش SAW بعد از محاسبه مقادیر شاخصها برای هر گزینه، گامهای زیر برداشته می‌شود:

یکپارچه کردن وزن معیارها: وزنی که کارشناس ام به شاخص i ام می‌دهد به وسیله w_{li} نمایش داده می‌شود، وزن کارشناسی هریک از شاخصها را می‌توان از رابطه زیر پیدا کرد:

$$w_i = \frac{1}{K} \sum_{l=1}^K w_{li} \quad [8]$$

اهمیت نسبی معیارها با بردار نرمال W بیان می‌شود، به طوری که $W = (w_1, w_2, \dots, w_m)$ و $\sum_{i=1}^m w_i = 1$ هست.

نرمال کردن اطلاعات: مقادیر

شاخصهای که برای هر توزیع از روابط ۱ الی ۴ و روابط ۶ محاسبه می‌شود، ممکن است مقادیری خارج از محدوده [۰/۰۱] را به خود بگیرد. بنابراین، لازم است چنان نرمال شوند که همه آن‌ها در محدوده [۰/۰۱] قرار گیرند. فرض کنید r_{ij} مقدار محاسبه شده شاخص i ام برای توزیع زام باشد. برای نرمال کردن این مقادیر ازتابع تبدیل زیر که به شکل تابع توزیع کوشی است، استفاده می‌شود (وانگ و همکاران ۲۰۰۴):

$$r_{ij} = \frac{1}{1 + c \nu_{ij}^2} \quad [9]$$

در رابطه ۹، c مقداری است ثابت که به طور تجربی توسط تصمیم‌گیرنده تعیین می‌شود.

ج. انحراف در چولگی و کشیدگی: در هیدرولوژی بررسی دنباله توزیع‌های فرضی مهم هستند. توزیع انتخاب شده بایستی اندازه چولگی و کشیدگی نزدیک به توزیع واقعی داشته باشد. گشتاورهای مرکزی سوم و چهارم، اطلاعات مفیدی را در رابطه با شکل منحنی توزیع فراهم می‌کنند. فاصله بین نقاط نمونه $A = (\hat{\beta}_1, \hat{\beta}_2)$ و توزیع فرضی $B = (\beta_1, \beta_2)$ که درجه نکویی برازش بین نمونه و توزیع فرضی را منعکس می‌کند، به صورت زیر محاسبه می‌شود (وانگ و همکاران ۲۰۰۴، محمدپور و همکاران ۲۰۱۴):

$$d(A, B) = \sqrt{(\hat{\beta}_1 - \beta_1)^2 (\hat{\beta}_2 - \beta_2)^2} \quad [4]$$

در رابطه (۴)، $\hat{\beta}_2, \hat{\beta}_1$: ضریب چولگی و کشیدگی داده‌ها، β_2, β_1 : کمیت‌های بی‌بعد که از روابط $\beta_1 = \frac{\mu_3^2}{\sigma^6}$ ، $\beta_2 = \frac{\mu_4}{\sigma^4}$ محاسبه می‌شوند، ۵: انحراف معیار و μ_3, μ_4 گشتاورهای مرکزی سوم و چهارم می‌باشند که از رابطه زیر تعیین می‌شوند (اسلامیان و سلطانی‌کوپائی ۱۳۸۱):

$$\mu_r = \int_{-\infty}^{+\infty} (x - \mu)^r f(x) dx, \quad \mu = E(x) \quad [5]$$

د. جذر میانگین مربعات خطأ (RMSE): این آماره از رابطه زیر برآورد می‌گردد (حسن‌زاده و همکاران ۲۰۱۰):

$$RMSE = \sqrt{\frac{\sum_{i=1}^n (x_i - \hat{x}_i)^2}{n}} \quad [6]$$

در این رابطه x_i : مقدار دبی اوج سیل مشاهداتی، \hat{x}_i : مقدار دبی اوج سیل محاسباتی هست.

ه. ارجحیت ذهنی: در دو روش کلاسیک SAW و WPM، رتبه‌ی که کارشناس(خبره) i ام به توزیع زام می‌دهد به وسیله r_{ij} نمایش داده می‌شود. رتبه کارشناسی هریک از توزیع‌ها با استفاده از رابطه زیر تعیین می‌شود:

تصمیم‌گیری ارایه شده است. روش FMA مبتنی بر عمل‌گر میانگین وزنی ترتیبی (OWA) است. ویژگی عمل‌گر OWA این است که می‌تواند خصوصیات ذهنی تصمیم‌گیران را در فرایند تصمیم‌گیری و انتخاب گزینه مطلوب تأثیر دهد. توانایی روش OWA در شناسایی میزان تبادل بین شاخص‌ها و اهداف متضاد، از ویژگی‌های دیگر این روش است (میانآبادی و افشار ۱۳۸۷). روش FMA مبتنی بر سه مرحله I: یکنواخت نمودن اطلاعات ارجحیت از طریق یک تابع تبدیل، II: تجمیع اطلاعات ارجحیت یکنواخت شده توسط عمل‌گر OWA، III: رتبه‌بندی گزینه‌ها یا انتخاب مطلوب‌ترین گزینه است.

اطلاعات به‌دست‌آمده از مجموعه شاخص‌ها دارای طبیعت متمایزی هستند، بنابراین، بایستی یکنواخت شوند. برای یکنواخت ساختن اطلاعات از تابع تبدیل زیر به‌صورت رابطه ارجحیت فازی استفاده می‌شود (چیکلانا و همکاران ۱۹۹۸):

$$p_{ij}^k = \frac{(u_i^k)^2}{(u_i^k)^2 + (u_j^k)^2} \quad [13]$$

u_i^k مقدار نرمال شده گزینه i ام از نظر شاخص k ام و p_{ij}^k درجه ارجحیت گزینه i بر j است.

برای تجمیع اطلاعات ارجحیت یکنواخت شده از عمل‌گر تجمیع OWA استفاده می‌شود. عمل‌گر تجمیع، تابعی است که بردار ورودی m بعدی را به یک بعد نگاشت می‌کند و به صورت $[0,1]^m \rightarrow [0,1]^m$: $F: \mathbb{R}^m \rightarrow \mathbb{R}^m$ نشان داده می‌شود. عمل‌گر OWA یک عمل‌گر تجمیع با بردار وزن w می‌شود. $\sum_{k=1}^m w_k = 1, w \in [0,1]^m$ هست و معادله زیر بر آن حاکم است (محمدپور و همکاران ۲۰۱۴).

$$F_Q(p_{ij}^1, \dots, p_{ij}^m) = W \cdot B^T = \sum_{k=1}^m w_k q_{ij}^k \quad [14]$$

در رابطه ۱۴، q_{ij}^k بیان‌گر k امین بزرگ‌ترین عنصر در مجموعه $(p_{ij}^1, \dots, p_{ij}^m)$ هست. Q نیز یک کمیت‌سنج فازی است که برای نمایش مفهوم اکثریت فازی و محاسبه بردار وزن عمل‌گر تجمیع بکار می‌رود.

تشکیل ماتریس عملکرد: ماتریس عملکرد برای m شاخص و n گزینه به صورت زیر تعریف می‌گردد:

$$R = (r_{ij})_{m \times n}, \quad i = 1, \dots, m, \quad j = 1, \dots, n \quad [10]$$

استخراج وزن نهائی توزیع‌ها: وزن نهائی توزیع‌ها با استفاده از رابطه برداری زیر حاصل می‌شود، بدیهی است که بالاترین وزن در این بردار توزیعی را مشخص می‌کند که دارای بهترین برآذش با داده‌ها است.

$$H = W \cdot R \quad [11]$$

روش حاصلضرب وزنی (WPM)

روش WPM یکی از روش‌های معمول تصمیم‌گیری چند شاخصه هست. این روش مشابه با روش SAW است، با این تفاوت که به جای جمع در عملکرد ریاضی آن، از ضرب استفاده شده است. دو برتری روش WPM نسبت به روش SAW، سادگی و عدم نیاز به نرمال کردن ذکر شده است. مطابق این روش، شاخص‌ها به دو گروه شاخص‌های سود (مقادیر بیشتر آن‌ها بهتر است) و هزینه (مقادیر کمتر آن‌ها بهتر است) تقسیم‌بندی می‌شوند. آماره KS انحراف متوسط در CDF، انحراف متوسط در PDF، انحراف در چولگی و کشیدگی و RMSE، شاخص‌های هزینه و وزن کارشناسی توزیع‌ها شاخص سود است. در این روش مقادیر شاخص‌ها (v_{ij}) به توان وزن‌های متناظر شاخص‌ها (w_i) می‌رسد و حاصل‌ضرب به صورت رابطه زیر محاسبه می‌گردد. لازم به ذکر است که توان مثبت برای شاخص‌های سود و توان منفی برای شاخص‌های هزینه در نظر گرفته می‌شود (قهeman و همکاران ۲۰۰۸):

$$M_j = \prod_{i=1}^m v_{ij}^{w_i}, \quad j = 1, 2, \dots, n \quad [12]$$

روش اکثریت فازی (FMA)

روش FMA توسط چیکلانا و همکاران (۱۹۹۸) به منظور تجمیع و انتخاب مطلوب اطلاعات در فرایند

r_j, s_j معرف رتبه کسب شده توسط گزینه زام در دو روش متفاوت و $d_j = r_j - s_j$ باشد، ضریب همبستگی رتبه ای (ρ) برای n گزینه به صورت زیر محاسبه می شود (ضرغامی و احسانی ۱۳۹۰):

$$\rho = 1 - \frac{6 \sum_{j=1}^n d_j^2}{n(n^2 - 1)} \quad [18]$$

استخراج مشخصه های حادثه سیل

مهمترین مشخصه های حادثه سیل شامل دبی اوج، حجم و زمان تداوم سیل می شود. جهت تعیین تداوم سیل بایستی تاریخ های شروع (SD) و انتهای رواناب (ED) را مشخص نمود. به طور کلی مرزهای زمانی سیل با افزایش جریان نسبت به جریان پایه (شروع رواناب) و کاهش جریان و برگشت به جریان پایه (انتهای رواناب)، نشان داده می شود. بنابراین جریان پایه به عنوان ملاکی برای تعیین هیدروگراف سیل در نظر گرفته می شود. در مطالعه حوضه ها، شروع رواناب معمولاً با بالا رفتن ناگهانی شاخه صعودی هیدروگراف و خاتمه آن با مسطح شدن شاخه فروکش هیدروگراف نشان داده می شود. در شاخه فروکش هیدروگراف، در عین تبدیل رواناب سطحی به جریان پایه، تغییر معنی داری در شبی هیدروگراف به وقوع می پیوندد. مشخصه های دبی اوج، حجم و تداوم سیل برای سال i از روابط زیر تعیین و در شکل ۱ نشان داده شده اند (کارماکار و سیمونویچ ۲۰۰۸):

$$D_i = ED_i - SD_i \quad [19]$$

$$V_i = \left(V_i^{Total} - V_i^{Base} \right) = \sum_{j=SD_i}^{ED_i} Q_{ij} - \frac{1}{2}(Q_{is} + Q_{ie})(1 + D_i) \quad [20]$$

$$P_i = \max \left[\left(Q_{ij} - Q_{ij}^{Base} \right), j = ED_i, 1 + ED_i, 2 + ED_i, \dots, SD_i \right] \quad [21]$$

در این روابط، Q_{ij} : جریان مشاهده شده رودخانه روز j ام سال i ام و Q_{is} و Q_{ie} : به ترتیب جریان های روزانه مشاهداتی در تاریخ شروع و انتها رواناب سال i ام و Q_{ij}^{Base} : مقدار جریان پایه روز زام سال i ام است.

با استفاده از کمیت سنج زبانی Q ، بردار وزن $W = (w_1, w_2, \dots, w_m)$ از رابطه زیر محاسبه می شود (میان آبادی و افشار ۱۳۸۷):

$$w_k = Q\left(\frac{k}{m}\right) - Q\left(\frac{k-1}{m}\right) \quad [15]$$

کمیت سنج های زبانی که مفهوم اکثریت فازی را منعکس می کنند با تابع عضویت زیر نشان داده می شود (میان آبادی و افشار ۱۳۸۷):

$$Q(r) = \begin{cases} 0 & \text{if } r < a \\ \frac{r-a}{b-a} & \text{if } a \leq r \leq b, \quad a, b, r \in [0, 1] \\ 1 & \text{if } r > b \end{cases} \quad [16]$$

متداول ترین کمیت سنج های زبانی که در محاسبه بردار وزن بکار بردہ می شوند، کمیت سنج های فازی «بیشترین»، «در کمترین حالت نصف» و «تا حد ممکن» هستند که مقادیر پارامترهای (a, b) متناظر شان به ترتیب $(0/0, 0/0)$ ، $(0/5, 0/5)$ و $(0/0, 0/0)$ هست. با استفاده از رابطه ۱۴، روابط ارجحیت فازی $p_{ij}^1, p_{ij}^m, \dots, p_{ij}^n$ را می توان به صورت یک رابطه کلی به صورت $p^* = (p_{ij}^k)_{n \times n}$ تجمعی نمود.

از کمیت سنج زبانی همچنین به منظور رتبه بندی توزیع ها یا انتخاب مطلوب ترین توزیع به صورت زیر استفاده می شود (شبیری و جیمن ۲۰۰۶):

$$c_i^* = F_Q(p_{ij}^k, j = 1, 2, \dots, n, i \neq j) \quad [17]$$

که در آن c_i^* مقدار رتبه بندی جمعی توزیع i ام هست. از رابطه ۱۷ بردار رتبه بندی جمعی توزیع ها به صورت $C^* = (c_1^*, \dots, c_n^*)$ به دست می آید، با استفاده از این رابطه، توزیع ها رتبه بندی و مناسب ترین توزیع انتخاب می گردد.

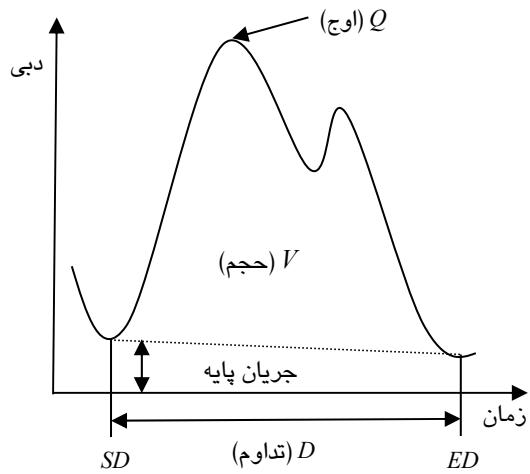
ضریب همبستگی رتبه ای اسپیرمن

ضریب همبستگی رتبه ای برای تعیین میزان وابستگی بین رتبه های حاصل شده با روش های MADM متفاوت مفید است. ضریب همبستگی A_1, A_2, \dots, A_m به ترتیب نشان دهنده وجود همبستگی کامل مثبت، همبستگی کامل منفی و عدم وجود همبستگی هست. اگر

آذربایجان غربی دارد. در ادامه به دو مورد سیلاب تاریخی اشاره می‌شود. در ۱۲ مرداد ۱۳۱۵، سیلاب وارد بازار مهاباد شد، مغازه‌های زیادی را تخریب، ۲۹ نفر کشته و ۵۶ زخمی و بیش از یک میلیون تومان خسارت وارد کرد (بینام ۱۳۷۰). در ۲۴ فروردین ۱۳۷۱، سیلابی به وقوع پیوست که در نتیجه آن اراضی کشاورزی مجاور رودخانه در پایین دست سد زیر آب رفت و خسارت اقتصادی زیادی را ببار آورد. در این مطالعه از داده‌های ۴۱ ساله دبی روزانه ثبت شده ورودی به مخزن سد در دوره ۱۳۴۴-۱۳۸۵ جهت تحلیل فراوانی سه مشخصه اصلی سیل یعنی دبی اوج، حجم و زمان تداوم سیل استفاده شده است. از هیدروگراف‌های سیل سالانه مقادیر اوج، حجم و تداوم سیل سالانه مطابق روابط ۱۹ تا ۲۱ تعیین شده‌اند. جدول ۱، خصوصیات آماری سه مشخصه سیل را نشان می‌دهد. داده‌های سیل سالانه بایستی مستقل، تصادفی، همگن و بدون روند باشند. این خواص توسط چهار آزمون ناپارامتری والد-ولفوویتس، ران-تست، مان-ویتنی و کنдал، تأثید شد.

شکل ۲ هیدروگراف سیل رودخانه مهاباد در دو سال متفاوت را به عنوان نمونه نمایش می‌دهد. بدلیل قرار گرفتن منطقه در اقلیم نیمه‌خشک، تغییرات مشخصه‌های سیل از سالی به سال دیگر نسبتاً بالا است.

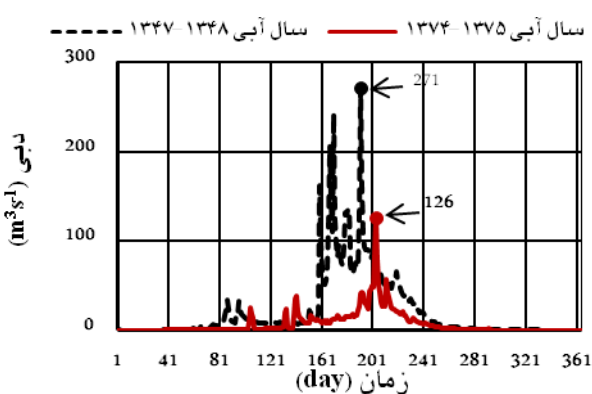
سری‌های جریان اوج، حجم و تداوم سیل سالانه به ترتیب به صورت $V = \{V_i\}$, $P = \{P_i\}$ و $D = \{D_i\}$ بیان می‌شود.



شکل ۱- مشخصه‌های حادثه سیل سال i ام.

معرفی حوضه آبریز تحت مطالعه

حوضه آبریز رودخانه مهاباد در استان آذربایجان غربی و در شمال غربی ایران واقع شده است، این حوضه یکی از حوضه‌های آبریز مهم دریاچه ارومیه است که در جنوب آن قرار گرفته است. حوضه آبریز رودخانه مهاباد، بین طول‌های شرقی ۴۵ درجه و ۲۵ دقیقه تا ۴۵ درجه و ۴۶ دقیقه و عرض‌های شمالی ۳۶ درجه و ۲۶ دقیقه تا ۳۶ درجه و ۴۶ دقیقه واقع است. مساحت این حوضه ۸۴۱ کیلومترمربع است. رودخانه مهاباد دارای دو شاخه اصلی به نام‌های کوتر و بیطاس است که از ارتفاعات جنوب حوضه سرچشم می‌گرفته و تقریباً به موازات هم از جنوب به شمال در جریان هستند و در نهایت هر دو رودخانه وارد مخزن سد مهاباد می‌شوند. آب خروجی از سد از جنوب به سمت شمال در جریان است و پس از گذشت از دشت مهاباد وارد دریاچه ارومیه می‌شود. فرج‌زاده اصل (۱۲۹۱) نشان داد که زیر حوضه مهابادچای با جمعیتی بیش از ۱۴۸۹۱۶ نفر، بیشترین جمعیت در معرض سیل را در بین زیر حوضه‌های استان



شکل ۲- جریان روزانه رودخانه مهاباد در دو سال متفاوت.

جدول ۱- برخی مشخصات آماری مهم متغیرهای سیل.

| متغیر | تداوم (day) | متوسط حسابی | ضریب تغییرات | انحراف معیار | چولگی | کشیدگی |
|----------------------|-------------|-------------|--------------|--------------|--------|--------|
| اوج ($m^3 s^{-1}$) | ۱۰.۹/۵۶۷ | ۰/۵۱۶ | ۶۰/۴۴۱ | ۱/۲۳۹۸ | ۴/۷۳۴۸ | |
| حجم ($m^3 s^{-1}$) | ۲۲۷۱/۶۸ | ۰/۶۱۸۵ | ۱۴۰۵/۹۱۲ | ۰/۹۵۱۲ | ۴/۵۱۸۲ | |
| تداوم (day) | ۷۱ | ۰/۳۵۰۲ | ۲۵/۲۲۲ | -۰/۴۳۲۹ | ۳/۱۶۵۵ | |

و RMSE d(A,B) به ترتیب توزیع‌های WBL3، KS و LN2 مناسب‌ترین توزیع آماری هستند. بنابراین، انتخاب توزیع بر اساس یک معیار مشابه تحقیقات لایو و همکاران (۲۰۰۹) و حداد و رحمن (۲۰۱۱)، ممکن است منجر به انتخاب مناسب‌ترین توزیع آماری نگردد. لذا جهت انتخاب مناسب‌تر از روش‌های MCDM جهت تجمعی اطلاعات معیارها استفاده می‌شود.

نتایج روش‌های تصمیم‌گیری چند شاخصه
جهت استفاده از داده‌های جدول ۳ در دو روش تصمیم‌گیری چندمعیاره SAW و FMA باید داده‌ها نرمال شوند. برای نرمال کردن داده‌های این جدول، از تابع توزیع کوشی مطابق رابطه ۹ استفاده شده است. داده‌های نرمال شده مبنای اجرای دو روش SAW و FMA هست. وزن کارشناسی توزیع‌ها بر اساس اقبالی که محققان به آن‌ها داشته‌اند، تعیین گردیده است. در رابطه ۹ ضریب C برای ۵ معیار آماره کولموگرف-اسمیرنوف، خطاهای در تابع CDF، خطاهای در تابع PDF، خطاهای در چولگی و کشیدگی و RMSE توسط تصمیم‌گیرنده به ترتیب ۵۰، ۲۰۰، ۱۰۰۰۰۰ و ۰/۰۰۱ تعیین شده است. مقادیر نرمالیزه شده ۵ معیار فوق الذکر برای ۱۱ توزیع آماری به همراه وزن کارشناسی توزیع‌ها (۱)، ماتریس عملکرد (R) را شکل می‌دهند که دارای ابعاد ۶ در ۱۱ هست. وزن کارشناسی معیارهای بالا مطابق رابطه ۸ به ترتیب به صورت ۰/۱۵، ۰/۲، ۰/۱۵، ۰/۰۲ و ۰/۰۱ برآورد شده است. برای تعیین این وزن‌ها از تحقیق وانگ و همکاران (۲۰۰۴) استفاده شده است. از حاصل ضرب دو ماتریس وزن معیارها و عملکرد مطابق رابطه ۱۱، سنجه روش

نتایج محاسبه شاخص‌ها

در این مطالعه ۱۱ تابع توزیع آماری پارامتریک به سه مشخصه دبی اوج، حجم و تداوم سیل سالانه رویخانه مهاباد در دوره آماری ۱۳۴۴-۱۳۸۵ برآش داده شده‌اند. جهت برآورد پارامترهای توزیع‌ها از روش‌های گشتاورها (MOM) و حدکثر درست‌نمایی (MLE) استفاده شده است. به منظور اجرای روش MLE از زبان برنامه‌نویسی GAMS که از قابلیت نسبتاً بالایی برای حل مدل‌های بهینه‌سازی غیرخطی برخوردار است، بهره برده شده و از نتایج حاصل از روش MOM به عنوان مقادیر اولیه جهت اجرای روش MLE استفاده شده است. مقادیر پارامترهای ۱۱ تابع توزیع آماری مربوط به سه مشخصه سیل با استفاده از روش MLE در جدول ۲ درج گردیده است. با مشخص شدن پارامترهای توزیع‌ها و جایگذاری در توابع PDF و CDF، این دو تابع برای ۱۱ توزیع آماری مربوط به سه مشخصه سیل استخراج شده‌اند. با استفاده از توابع PDF نظری و تجربی و همچنین CDF نظری و تجربی، از روابط ۱ الی ۶ و رابطه ۶ مقادیر ۵ معیار آماره KS، خطاهای در تابع CDF، خطاهای در تابع RMSE، خطاهای در چولگی و کشیدگی و معیار PDF برآورد گردیده‌اند. مقادیر این معیارها به همراه ارجحیت ذهنی یکپارچه کارشناسان برای متغیر اوج سیل در جدول ۳ ارائه شده است. با بررسی داده‌های جدول ۳، ملاحظه می‌شود اگر با هر یک از معیارها به صورت مجزا توزیع‌ها رتبه‌بندی شوند، رتبه توزیع‌ها متفاوت خواهند بود. برای مثال، بر اساس معیارهای

است. از آنجاکه درجه اهمیت هر تصمیم‌گیرنده در خصوص معیارها نامساوی است، روش اکثربیت فازی با کمیتسنج «حداقل نصف» با جفت مقدار ($0/0/5$) بر اساس معادله ۱۵ مورد استفاده قرار می‌گیرد، بنابراین بردار وزن معیارها به صورت $(0/0/4 \quad 0/0/2 \quad 0/0/4)$ بردار وزن معیارها به صورت (p_{ij}^k) به دست می‌آید. سپس بر اساس اطلاعات یکنواخت شده جمعی که دارای ابعاد 11×11 است، تعیین می‌شود. با مرتب کردن عناصر سطرهای ماتریس ارجحیت فازی جمعی، ماتریس B مربوط به معادله ۱۴ حاصل می‌شود. به منظور رتبه‌بندی گزینه‌ها، کمیتسنج فازی «بیشتر» با جفت مقدار ($0/0/8 \quad 0/0/3$) انتخاب و بردار وزن متناظر با استفاده از معادله ۱۵ به صورت $(0/0/0 \quad 0/0/0 \quad 0/0/0)$ به دست می‌آید. در نهایت با استفاده از رابطه ۱۶ بردار رتبه‌بندی جمعی توزیع‌ها (C^*) برای سه مشخصه سیل محاسبه و در جدول ۴ درج شده است.

مجموع ساده وزین (H) برای سه مشخصه سیل محاسبه شده و در جدول ۴ درج شده است. با استفاده از این سنجه توزیع‌ها رتبه‌بندی می‌شوند. واضح و مبرهن است که بالاترین مقدار در بردار H مناسب‌ترین توزیع را مشخص می‌کند.

جهت محاسبه سنجه روش حاصل ضرب وزنی (M)، از معادله ۱۲ استفاده شده است. داده‌های موردنیاز جهت برآورد سنجه M عبارت‌اند از داده‌های جدول ۳ و وزن کارشناسی معیارها که در بخش قبلی ارائه شده است. این سنجه برای سه مشخصه سیل محاسبه و در جدول ۴ آورده شده است. بر اساس این سنجه توزیع‌ها رتبه‌بندی شده‌اند. بدیهی است که بالاترین مقدار برترین توزیع را نشان می‌دهد.

در روش FMA با استفاده از داده‌های نرم‌الیزه شده، شدت ارجحیت گزینه τ ام بر گزینه τ ام برای معیار k از رابطه ۱۳ محاسبه و اطلاعات یکنواخت شده‌اند. با توجه به تعداد معیارها و گزینه‌ها، این اطلاعات به صورت ۵ ماتریس 11×11 استخراج شده

جدول ۲- مقادیر پارامترهای توزیع‌ها، برآورد شده برای سه مشخصه اصلی سیل با استفاده از روش بیشینه درستنمایی (MLE).

| نام توزیع | پارامترها | اوج | حجم | تداوم | نام توزیع | پارامترها | اوج | حجم | تداوم |
|------------------|--------------|--------|----------|---------|-----------|-------------|--------|----------|----------|
| مقیاس(a) | پیرسون تیپ ۳ | ۴۳/۰۴ | ۸۱۴/۷۷ | ۲/۴۴ | مقیاس(α) | محل(γ) | ۱۴۳/۶۷ | ۲۵۴۹/۹۵ | ۹۱/۰۱ |
| مقیاس(m) | محل(γ) | ۲۲/۴۲۶ | -۲۴۱/۶۲ | -۱۹۷/۱۹ | مقیاس(b) | دو پارامتری | -۶۲/۵۷ | -۷/۸۰۵ | ۲۶/۲۲۷ |
| مقیاس(μ) | لوگ نرم‌ال | ۱/۹۸ | ۳/۰/۸۵ | ۱۰/۹۹۴ | مقیاس(β) | لوگ نرم‌ال | ۷/۳۳۷ | ۱/۶۷۸ | ۱/۴۱۲ |
| نرم‌ال | دو پارامتری | ۴/۵۵۵ | ۷/۴۹۰ | ۴/۱۷۳ | مقیاس(μ) | سه پارامتری | ۷۱ | ۲۲۷۱/۶۸ | ۱۰/۹/۵۶۷ |
| مقیاس(δ) | شکل(δ) | ۰/۵۳۸ | ۰/۷۸۹ | ۰/۴۷۶ | مقیاس(δ) | شکل(δ) | ۲۵/۲۲۲ | ۱۴۰/۵۹۱ | ۶۰/۴۴۱ |
| لوگ پیرسون تیپ ۳ | لوگ نرم‌ال | ۴/۶۸۵ | ۸/۲۸۱ | ۴/۷۰۱ | مقیاس(α) | محل(γ) | ۰/۰۴۴ | ۰/۱۱۶ | ۰/۰/۷۱ |
| مقیاس(β) | سه پارامتری | ۱۱/۶۵۵ | -۱۸۹۲/۵۶ | -۴۲/۱۴ | مقیاس(α) | شکل(β) | -۲/۰۷۶ | -۲/۴۹۹ | -۱/۱۴۹ |
| گاما دو | حدی نوع | ۴۲/۴۷۸ | ۱۰/۹۵/۳۳ | ۲۶/۳۱۶ | مقیاس(α) | شکل(β) | ۱۴۱/۶۳ | ۱۴۰/۰۵۵ | ۱۱۰/۲۶ |
| پارامتری | یک(گامبل) | ۸۳/۲۱۹ | ۱۶۳۴/۴۹ | ۵۸/۰۹۲ | مقیاس(β) | پارتوی | ۱۲/۴۲۰ | ۱۰۰/۷/۶۸ | ۲۹/۶۶۸ |
| لجرستیک | تعیین‌یافته | ۸۲/۶۳۲ | ۲۲۷۸/۵۱ | ۱۶۰/۳۵ | مقیاس(α) | محل(ε) | ۱۴/۱۱۱ | ۷۴۳/۳۷۳ | ۳۰/۱۶۴ |
| تعیین‌یافته | تعیین‌یافته | ۴۰/۸۸ | ۴۹۶/۵۵ | ۰/۹۱۳ | مقیاس(α) | شکل(k) | ۷۳/۴۱۵ | ۲۰۲۷/۲۱ | ۹۴/۷۹۶ |
| | | ۰/۱۹۹ | ۰/۲۸۷ | ۱/۴۰ | مقیاس(α) | | ۰/۱۲۲ | -۰/۰۲۴۶ | -۰/۰/۳۵۵ |

| | | | | | | | | | | |
|---|---|---|---|---|---|--------|---------|--------|----------|-------------|
| - | - | - | - | - | - | ۲۶/۶۹۹ | ۱۰۹۳/۴۰ | ۴۰/۴۸۷ | مقیاس(a) | حدی |
| - | - | - | - | - | - | ۶۴/۳۴۷ | ۱۶۳۱/۷۲ | ۷۹/۹۷۴ | محل(u) | تعیین یافته |
| - | - | - | - | - | - | ۰/۴۵۶ | -۰/۰۰۵ | -۰/۱۴۳ | شکل(k) | |

جدول ۳- مقادیر معیارهای محاسبه شده برای توزیع های منتخب.

| r | RMSE | d(A,B) | δ_f | δ_F | D _{max} | نام توزیع |
|------|--------|--------|------------|------------|------------------|-----------------------|
| ۰/۰۳ | ۱۸/۷۰۲ | ۲/۱۵۱ | ۰/۰۰۱۴۵ | ۰/۰۵۱۴ | ۰/۱۰۹۳ | نرمال |
| ۰/۱۰ | ۸/۶۳۵ | ۴/۲۲۲ | ۰/۰۰۰۷۱ | ۰/۰۲۰۴ | ۰/۰۶۶ | لوگ نرمال دو پارامتری |
| ۰/۰۸ | ۹/۹۴۷ | ۱/۴۶۱ | ۰/۰۰۰۵۹ | ۰/۰۲۰۶ | ۰/۰۵۷۶ | لوگ نرمال سه پارامتری |
| ۰/۱۳ | ۹/۴۰۵ | ۰/۲۳۵ | ۰/۰۰۰۵۶ | ۰/۰۲۰۵ | ۰/۰۵۹۶ | پیرسون تیپ ۳ |
| ۰/۱۶ | ۹/۶۷۳ | ۲۱/۵۰۸ | ۰/۰۰۰۷۷ | ۰/۰۲۵۶ | ۰/۰۸۷۸ | لوگ پیرسون تیپ ۳ |
| ۰/۰۷ | ۱۲/۰۷۶ | ۰/۰۲۲ | ۰/۰۰۰۴۷ | ۰/۰۲۲۹ | ۰/۰۵۴۵ | گاما دو پارامتری |
| ۰/۱۳ | ۱۲/۳۰۴ | ۰/۰۶۷ | ۰/۰۰۰۷۵ | ۰/۰۲۴۷ | ۰/۰۶۳۴ | حدی نوع یک |
| ۰/۱۳ | ۸/۹۶۷ | ۱۵/۱۷۳ | ۰/۰۰۰۸۰ | ۰/۰۲۲۴ | ۰/۰۷۰۳ | حدی تعیین یافته |
| ۰/۰۵ | ۱۰/۰۱۸ | ۰/۰۷۲ | ۰/۰۰۱۵۷ | ۰/۰۲۰۶ | ۰/۱۸۹۷ | پارتیوی تعیین یافته |
| ۰/۰۵ | ۹/۳۶۱ | ۶۴/۸۴۶ | ۰/۰۰۰۹۲ | ۰/۰۲۳۱ | ۰/۰۷۴۱ | لجستیک تعیین یافته |
| ۰/۰۷ | ۹/۷۵۷ | ۰/۰۴۰ | ۰/۰۰۰۳۸ | ۰/۰۱۸۱ | ۰/۰۴۶۰ | ویبول سه پارامتری |

می کند. با قدری تأمل بر روی شکل ۳، ملاحظه می شود که PDF نظری توزیع های برتر برای هر سه مشخصه سیل برآذش خوبی را با PDF تجربی نشان می دهدند. شکل ۴ کیفیت برآذش توزیع انتخاب شده بر اساس روش های MCDM با داده های مشاهداتی و همچنین حدود اعتماد ۹۰٪ را نشان می دهد، مشاهده می شود که برای هر سه مشخصه، توزیع برتر برآذش مناسبی را به داده های مشاهداتی دارد.

با استفاده از ضریب همبستگی رتبه ای اسپیرمن، همبستگی بین روش ها محاسبه و در جدول ۵ ارائه شده است. داده های جدول نشان می دهد که روش ها در سطح بالایی هم دیگر را تأیید می کنند.

از آنجاکه نتایج عددی سه روش قابل مقایسه نیستند، بر اساس مقادیر سنجه ها رتبه بندی نهایی توزیع های آماری انجام شده است. بدیهی است که در هر سه روش، توزیعی که بالاترین مقدار سنجه را داراست، مناسب ترین توزیع هست. علی رغم تفاوت سه روش در رتبه بندی توزیع ها، هر سه در تعیین توزیعی که بهترین برآذش را به داده های سه مشخصه دارند، یکسان عمل می کنند. مطابق داده های مندرج در جدول ۴، به ترتیب توزیع های WBL3، WBL3 و GEV بهترین برآذش را به داده های سه مشخصه دبی اوج، حجم و تداوم سیل رودخانه مهاباد نشان می دهند. شکل ۳ توابع PDF نظری توزیع های آماری سه مشخصه دبی اوج، حجم و تداوم سیل را با تابع PDF تجربی مقایسه

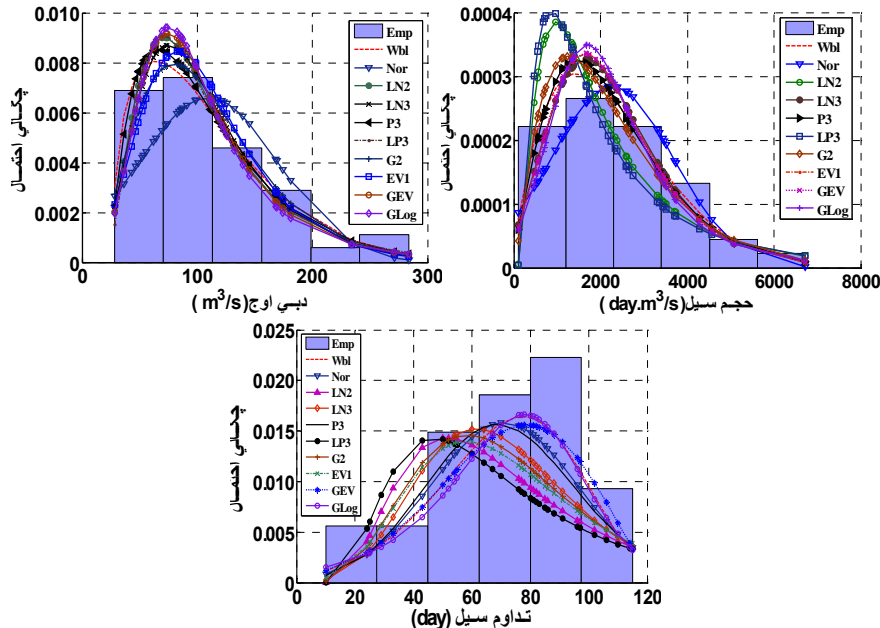
جدول ۴- مقادیر سنجه و رتبه توزیع های آماری با استفاده از روش های SAW، WPM و FMA برای سه مشخصه سیل.

| تمار | | | حجم | | | اوج | | | نام توزیع آماری |
|----------|---------|----------|----------|---------|----------|-----------|----------|-----------|-----------------|
| FMA | WPM | SAW | FMA | WPM | SAW | FMA | WPM | SAW | نرمال |
| ۰/۵۲۷(۵) | ۶/۷۸(۴) | ۰/۸۱۹(۴) | ۰/۴۸۲(۷) | ۷/۹۰(۸) | ۰/۷۱۹(۷) | ۰/۲۲۱(۱۰) | ۲/۲۶(۱۰) | ۰/۴۸۶(۱۱) | |

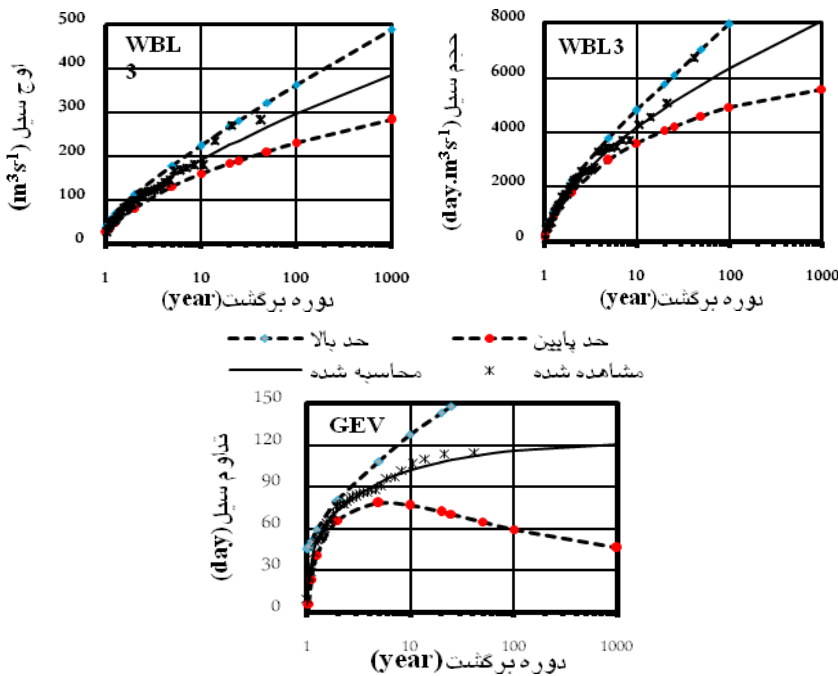
| | | | | | | | | | |
|----------|---------|----------|-----------|---------|-----------|-----------|----------|-----------|-----------------------|
| /۳۵۱(۱۰) | /۱۷(۱۱) | /۵۲۵(۱۱) | ۰/۳۵۲(۱۰) | /۳۶(۱۱) | /۵۱۱(۱۱) | ۰/۵۰۲(۵) | ۰/۷۹(۷) | ۰/۶۵۲(۶) | لوگ نرمال دو پارامتره |
| ۰/۴۳۸(۷) | ۳/۵۸(۶) | | ۰/۵۲۴(۲) | ۹/۶۹(۲) | ۰/۸۱۱(۲) | ۰/۵۲۱(۴) | ۶/۸۲(۵) | ۰/۷۲۳(۵) | لوگ نرمال سه پارامتره |
| ۰/۵۴۲(۴) | ۹/۰۹(۳) | ۰/۸۵۲(۲) | ۰/۴۵۱(۸) | ۸/۳۲(۶) | ۰/۷۶۸(۶) | ۰/۵۲۳(۳) | ۹/۶۳(۴) | ۰/۸۰۷(۳) | پیرسون تیپ سه |
| ۰/۵۲۱(۶) | ۲/۱۹(۹) | ۰/۷۸۲(۷) | ۰/۳۵۷(۹) | ۶۱(۱۰) | ۰/۵۳۲(۱۰) | ۰/۴۶۳(۹) | ۴/۲۰(۹) | ۰/۶۱۰(۹) | لوگ پیرسون تیپ سه |
| ۰/۴۱۲(۸) | ۳/۳۰(۷) | ۰/۶۲۵(۸) | ۰/۵۲۲(۳) | ۸/۹۶(۴) | ۰/۸۱۰(۳) | ۰/۵۳۱(۲) | ۱۲/۶۱(۲) | ۰/۸۰۷(۲) | گاما دو پارامتره |
| ۰/۳۸۶(۹) | /۸۱(۱۰) | /۵۵۲(۱۰) | ۰/۵۱۷(۴) | ۹/۰۶(۳) | ۰/۸۰۹(۵) | ۰/۴۹۵(۶) | ۹/۷۶(۳) | ۰/۷۶۴(۴) | حدی نوع یک |
| ۰/۵۴۵(۱) | /۷۲(۱) | ۰/۸۵۸(۱) | ۰/۵۱۶(۵) | ۸/۹۴(۵) | ۰/۸۰۹(۴) | ۰/۴۸۶(۷) | ۴/۶۳(۸) | ۰/۶۲۳(۷) | حدی تعیین یافته |
| /۲۸۸(۱۱) | ۳/۲۷(۸) | ۰/۵۹۹(۹) | ۰/۳۴۸(۱۱) | ۵/۴۵(۹) | ۰/۶۲۳(۹) | ۰/۲۸۰(۱۱) | ۶/۰۵(۱) | ۰/۶۱۶(۸) | پارتوی تعیین یافته |
| ۰/۵۴۳(۳) | ۴/۹۷(۵) | ۰/۷۲۲(۱) | ۰/۵۰۴(۶) | ۷/۰۶(۷) | ۰/۶۵۱(۸) | ۰/۴۶۹(۸) | ۲/۲۲(۱۱) | ۰/۵۹۶(۱۰) | لجستیک تعیین یافته |
| ۰/۵۴۴(۲) | /۳۵(۲) | ۰/۸۵۰(۳) | ۰/۵۴۹(۱) | /۷۰(۱) | ۰/۸۳۷(۱) | ۰/۵۵۱(۱) | ۱۳/۴۸(۱) | ۰/۸۳۸(۱) | ویبول سه پارامتره |

جدول ۵- مقادیر ضریب همبستگی رتبه‌ای بین روش‌های MCDM

| مشخصه | اوج | حجم | تداوم |
|---------|--------|--------|--------|
| SAW,WPM | ۰/۹۵۴۵ | ۰/۹۶۳۶ | ۰/۹۵۴۵ |
| SAW,FMA | ۰/۸۸۱۸ | ۰/۹۳۶۴ | ۰/۹۰۹۱ |
| WPM,FMA | ۰/۸۷۲۷ | ۰/۹۱۸۲ | ۰/۷۹۰۹ |



شکل ۳- مقایسه برترین توابع چگالی احتمال مشخصه‌های دبی اوج، حجم و تداوم سیل نظری با تابع چگالی احتمال تجربی رودخانه مهاباد.



شکل ۴- مقادیر مشاهداتی و محاسباتی با مناسبترین توزیع آماری و حدود اعتماد ۹۰٪ برای سه مشخصه سیل رودخانه مهاباد.

در صورت تغییر تعداد معیارها به ۵ معیار یا کمتر، در بیشتر موارد رتبه‌بندی توزیع‌ها تغییر خواهد کرد. به طوری که حذف معیار (A,B)^d بیشترین تغییر را در رتبه‌بندی سه روش ایجاد می‌کند. نتایج نشان داد در دو روش قطعی SAW و WPM می‌توان معیار RMSE را حذف کرد، بدون این‌که تغییری در رتبه‌بندی توزیع‌ها ایجاد شود و در روش FMA در صورت حذف معیار r^{δ} ، هیچ تغییری در رتبه‌بندی توزیع‌ها ایجاد نمی‌شود. در صورت حذف دو معیار یا بیشتر، در تمامی موارد رتبه‌بندی توزیع‌ها تغییر می‌کند و نتایج مطلوب حاصل نمی‌شود.

نتیجه‌گیری کلی

در این مطالعه ۱۱تابع توزیع آماری رایج در هیدرولوژی بر اساس چندین معیار که از اطلاعات PDF و CDF به صورت توأم استفاده می‌کنند، با استفاده از سه روش ارزیابی چندمعیاره شامل روش‌های FMA و WPM SAW و WBL3 رتبه‌بندی شده‌اند. مناسب‌ترین تابع توزیع آماری برای سه مشخصه دبی اوج، حجم و

تحلیل حساسیت

تحلیل حساسیت نتایج با تغییر وزن‌های در نظر گرفته شده برای معیارها و گزینه‌ها و همچنین تغییر تعداد معیارهای لحاظ شده در فرایند تصمیم‌گیری انجام گردید. به دلیل حجم بالای اطلاعات، از آوردن همه اطلاعات صرف‌نظر گردید. در ادامه تنها به بخشی از اطلاعات مربوط به متغیر اوج سیل اشاره می‌شود. نتایج نشان داد که روش‌ها حساسیت کمی به تغییر وزن معیارها و گزینه‌ها دارند. برای مثال در صورتی که وزن گزینه‌ها و معیارها یکسان در نظر گرفته شود، در روش SAW ترتیب دو توزیع GEV و WPM به ترتیب از ۷ و ۸ به ۷ و در روش GPAR و PE3 به ترتیب از ۴ و ۳ به ۴ و ۳ تغییر می‌کند. در روش FMA در صورتی که تصمیم‌گیرنده اهمیت یکسانی برای معیارها و گزینه‌ها در نظر بگیرد (تصمیم‌گیرنده خنثی) تغییرات نسبتاً بیشتر خواهد بود، اما سه رتبه برتر که مربوط به سه توزیع WBL3، G2 و PE3 هست، ثابت می‌ماند.

نیازی به تعیین وزن معیارها و گزینه‌ها به صورت عددی ندارد و برای تعیین آن‌ها از کمیت سنج‌های زبانی استفاده می‌نماید. این امر می‌تواند منجر به کاهش عدم قطعیت در انتخاب مناسب‌ترین توزیع آماری گردد. محققان دیگر نیز به برتری روش مبتنی بر عملگر OWA در مقایسه با روش‌های کلاسیک نظری بر عملگر SAW و CP اذعان داشته‌اند. طبق مطالعات ضرغامی و همکاران (۱۳۸۶)، میان‌آبادی و افشار (۱۳۸۷) و ضرغامی و احسانی (۱۳۹۰)، روش مبتنی بر عملگر OWA موفقیت چشمگیری در مسائل مختلف تصمیم‌گیری مدیریت منابع آب داشته است. روش WPM که کمتر مورد توجه محققان منابع آب قرار گرفته است، از دو مزیت مهم سادگی و عدم نیاز به نرم‌المل کردن برخوردار است و در ضمن نتایج این روش قابل مقایسه با نتایج روش‌های دیگر است.

مطابق نتایج تحلیل حساسیت روش‌های MCDM، ملاحظه می‌گردد که حساسیت روش‌ها به تغییر وزن معیارها و گزینه‌ها نسبتاً کم و حساسیت نسبت به تغییر تعداد معیارها نسبتاً بالا است. نتایج تحلیل حساسیت مؤید این واقعیت است که برای انتخاب مناسب‌ترین توزیع احتمالاتی، استفاده از حداقل چهار معیار ضروری است.

از آنجاکه سه مشخصه سیل به صورت دوبه‌دو وابستگی معنی‌داری با همدیگر دارند، تحلیل فراوانی چند متغیره می‌تواند راهکار مناسب‌تری باشد. از نتایج حاصل از این مطالعه می‌توان جهت تحلیل فراوانی سیل سه متغیره استفاده کرد.

تدابع سیل داده‌های رودخانه مهاباد انتخاب شده است. علی‌رغم تفاوت سه روش در رتبه‌بندی توزیع‌ها، نتایج هر سه روش در تعیین مناسب‌ترین توزیع یکسان است. توزیع‌های احتمالاتی GEV، WBL3 و WBL3 به ترتیب بهترین برآذش را برای سه مشخصه دبی اوج، حجم و تداوم سیل نشان می‌دهند. این نتایج در خصوص توزیع WBL توسط مهدی و آشکار (۲۰۰۴) و اسکالانت (۲۰۰۷) و در خصوص توزیع GEV توسط اسکالانت (۲۰۱۱) تأیید شده است. با قدری تأمل بر روی نتایج، مشخص می‌شود که توزیع‌های منتخب برای سه مشخصه سیل را توزیع‌های مقادیر حدی تشکیل می‌دهند. توزیع‌های انتخاب شده با اقلیم نیمه‌خشک منطقه که در آن جریان رودخانه‌ها تغییرات نسبتاً شدیدی دارند، سازگار می‌باشند. موشخیان (۱۳۹۱) نیز نشان داد که بیشتر توزیع‌های منتخب برای اقلیم نیمه‌خشک خراسان رضوی که با اقلیم حوضه آبریز رودخانه مهاباد مشابه است، توزیع‌های مقادیر حدی هستند.

وابستگی رتبه‌بندی روش‌ها با استفاده از ضریب همبستگی رتبه‌ای اسپیرمن محاسبه شده است. نتایج نشان می‌دهد که سه روش در حد بالایی همدیگر را تأیید می‌کنند. ضرغامی و احسانی (۱۳۹۰) نیز استفاده از این ضریب را جهت تعیین وابستگی رتبه روش‌های MCDM مفید دانستند. در مقایسه روش‌های MCDM با قطعیت نمی‌توان گفت کدام روش بر دیگران برتر است، اما به نظر می‌آید روش FMA (که مبتنی بر عملگر OWA است) در مقایسه با روش‌های SAW و WPM برتر باشد. زیرا در این روش تصمیم‌گیرنده

منابع مورد استفاده

اسلامیان سس و سلطانی کوپائی س، ۱۳۸۱. تحلیل فراوانی سیل (ترجمه). انتشارات ارکان، چاپ اول.
امیری ف و سعادت‌فر، ۱۳۹۰. کاربرد روش تحلیل سلسله مراتبی (AHP) در انتخاب مناسب‌ترین توزیع فراوانی برای پیش‌بینی حداقل‌لحظه‌ای سیلاب. فصلنامه مهندسی آبیاری و آب، سال ۱، شماره ۴، صفحه‌های ۴۶ تا ۵۹.

بی‌نام، ۱۳۷۰. مروری بر ضوابط و استانداردهای انتخاب سیلاب‌های طراحی سدها. شرکت مدیریت منابع آب ایران، نشریه شماره ۹۴-الف، ۸۲ صفحه.

صفاری ن و ضرغامی م، ۱۳۹۲. تخصیص بهینه منابع آب سطحی حوضه دریاچه ارومیه به استان‌های ذینفع با روش‌های تصمیم‌گیری فاصله محور. نشریه دانش آب و خاک، جلد ۲۲، شماره ۱۵، صفحه‌های ۱۳۵ تا ۱۴۹.

ضرغامی م، اردکانیان ر و مدرس یزدی م، ۱۳۸۶. اولویت‌بندی طرح‌های انتقال بین حوضه‌ای آب با استفاده از عملگر میانگین وزنی مرتب شده استقرایی. مجله علمی پژوهشی شریف، شماره ۳۷، صفحه‌های ۹۹ تا ۱۰۹.

ضرغامی م و احسانی ا، ۱۳۹۰. ارزیابی روش‌های مختلف تصمیم‌گیری گروهی چندمعیاره در انتخاب طرح‌های انتقال آب به حوضه دریاچه ارومیه. مجله تحقیقات منابع آب، سال ۷، شماره ۲، صفحه‌های ۱ تا ۱۴.

فرج‌زاده اصل م، ۱۳۹۱. بررسی خطر سیلخیزی در زیر حوضه‌های استان آذربایجان غربی. مجله پژوهش‌های ژئومورفولوژی کمی، شماره ۱، صفحه‌های ۵۹ تا ۶۸.

مشايخی ت، ۱۳۸۰. بررسی سیل‌های تاریخی کشور. کمیته ملی سدهای بزرگ ایران، نشریه شماره ۳۸، ۸۹ صفحه.

میان‌آبادی ح و افشار ع، ۱۳۸۷. تصمیم‌گیری چندشاخصه در رتبه‌بندی طرح‌های تامین آب شهری. مجله آب و فاضلاب، شماره ۶۶، صفحه‌های ۳۴ تا ۴۵.

موشخیانی، ۱۳۹۱. توسعه مدل‌های منطقه‌ای برآورد دبی سیلابی و آبدی سالانه در حوضه‌های آبخیز منتخب استان خراسان رضوی. پایان‌نامه کارشناسی ارشد رشته آبخیزداری، دانشگاه علوم کشاورزی و منابع طبیعی گرگان.

Anonymous, 2003. Water for People, Water for Life. The United Nations World Water Development Report. UNESCO, Paris.

Chiclana F, Herrera F and Herrera VE, 1998. Integrating three representation models in fuzzy multipurpose decision making based on fuzzy preference relations. *Fuzzy Sets and Systems* 97: 33-48.

Duckstein L, Bobee B and Ashkar F, 1991. A multiple criteria decision modeling approach to selection of estimation techniques for fitting extreme floods. *Stochastic Hydrology and Hydraulics* 5: 227-238.

Escalante C, 2007. Application of bivariate extreme value distribution to flood frequency analysis: a case study of Northwestern Mexico. *Natural Hazards* 42: 37-46.

Escalante C and Raynal J, 2011. Trivariate generalized extreme value distribution in flood frequency analysis. *Hydrological Sciences Journal* 53(3): 550-567.

Ghorbani MA, Ruskeep AH, Singh VP and Sivakumar B, 2009. Flood frequency analysis using Mathematica. *Turkish Journal of Engineering & Environmental Sciences* 33: 1-18.

Haddad K and Rahman A, 2011. Selection of the best fit flood frequency distribution and parameter estimation procedure: a case study for Tasmania in Australia. *Stochastic Environmental Research and Risk Assessment* 25(3): 415-428.

Hassanzadeh Y, Abdi A, Talatahari S and Sing VP, 2010. Meta-Heuristic algorithms for hydrologic frequency analysis. *Water Resources Management* 25: 1855-1879.

Kahraman G, Birgun S and Yenen VZ, 2008. Fuzzy multi-attribute scoring methods with applications. Pp. 187-208, In: Kahraman G, (Ed). *Fuzzy Multi-Criteria Decision Making*. Springer Science.

Karamouz M, Zahraei B and kerachian R, 2003. Development of a master plan for water pollution control using MCDM techniques: a case study. *Water International* 28(4): 478-490.

Karmakar S and Simonovic SP, 2008. Bivariate flood frequency analysis. Part ۱: Determination of marginals by parametric and nonparametric techniques. *Journal of Flood Risk Management* 1: 190-200.

Kentel E and Aral MM, 2007. Fuzzy multiobjective decision-making approach for groundwater resources management. *Journal of Hydrologic Engineering, ASCE* 12(2): 206-217.

Laio F, Baldassarre GD and Montanari A, 2009. Model selection techniques for the frequency analysis of hydrological extremes. *Water Resources Research* 45(7): 1-11, W07416.

Mahdi S and Ashkar F, 2004. Exploring generalized probability weighted moments, generalized moments and maximum likelihood estimating methods in two-parameter Weibull model. *Journal of Hydrology* 285(1-4): 62-75.

Mcphee J and Yeh WW-G, 2004. Multiobjective optimization for sustainable groundwater management in semiarid regions. *Journal of Water Resources Planning and Management, ASCE* 130(6): 490-497

Mohammadpour O, Hassanzadeh Y, Khodadadi A and Saghafian B, 2014. Selecting the best flood flow frequency model using multi-criteria group decision-making. *Water Resources Management* 28: 3957-3974

- Nijssen D, Schumann A, Pahlöw M and Klein B, 2009. Planning of technical flood retention measures in large river basins under consideration of imprecise probabilities of multivariate hydrological loads. *Natural Hazards and Earth System Sciences* 9(4): 1349–1363.
- Rahman AS, Rahman A, Zaman MA, Haddad K, Ahsan A and Imteaz M, 2013. A study on selection of probability distributions for at-site flood frequency analysis in Australia. *Natural Hazards* 69(3): 1803-1813
- Shabri A and Jemain AA, 2006. Application of multi criteria method to identify the best fit statistical distribution. *Journal of Applied Science* 6(4): 926-932.
- Shiau JT, Wang HY and Tsai CT, 2006. Bivariate frequency analysis of floods using copulas. *Journal of American Water Resources Association* 42(6): 1549–1564.
- Wang Y, Richard CM and Ming JZ, 2004. A multi-criterion evaluation approach to selection of the best statistical distribution. *Computers and Industrial Engineering* 47: 165-180.
- Yilmaz B and Harmancioglu NB, 2010. Multi-Criteria decision making for water resource management: A case study of the Gediz Basin, Turkey. *Water SA* 36(5): 563-576.
- Zarghami M and Szidarovszky F, 2010. On the relation between compromise programming and ordered weighted averaging operator. *Information Sciences* 180(11): 2239-2248.